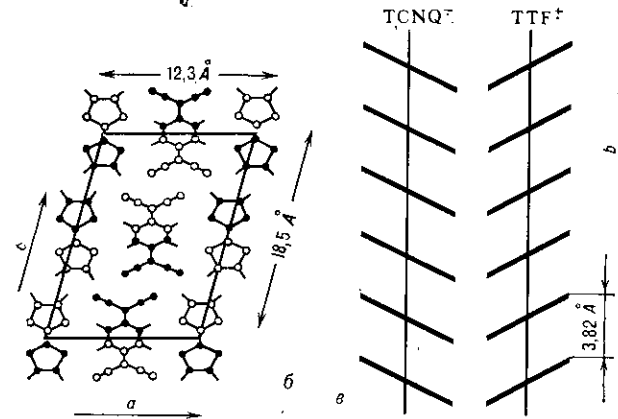
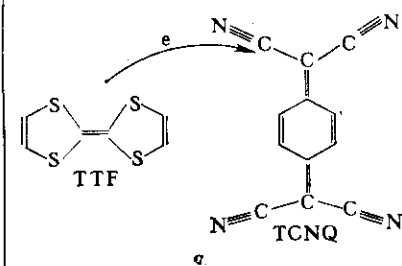


обнаружен во мн. органич. кристаллах (напр., TTF — TCNQ) или трихалькогенидах (TaS<sub>3</sub>). Известны К. с., к-рые являются пайерлсовскими диэлектриками уже при  $T=300$  К, напр. полиацетилен. В то же время нек-рые К. с. со слабой анизотропией остаются металлами при всех темп-рах и могут переходить в сверх-



проводящее состояние при охлаждении. К таким системам относятся *органические сверхпроводники*, напр. (TMTSF)<sub>2</sub>ClO<sub>4</sub>, (SN)<sub>x</sub>, TaSe<sub>3</sub>.

В К. с. обнаружены солитоны. Такие возбуждения присущи пайерлсовским диэлектрикам и были обнаружены впервые в полиацетилене. Они могут нести заряд без спина или спин без заряда (топологич. солитон). В пайерлсовских диэлектриках наблюдается проводимость, связанная с движением *волны зарядовой плотности* в сильном электрич. поле. Проводимость такого типа сопровождается генерацией низкочастотного шума.

*Лит.:* Овчинников А. А., Украинский И. И., Квенцель Г. Ф., Теория одномерных моттовских полупроводников и электронная структура длинных молекул с сопряженными связями, «УФН», 1972, т. 108, в. 1; Булавинский Л. Н., Структурный (пайерлсовский) переход в квазиодномерных кристаллах, там же, 1975, т. 115, в. 2; Силин Э. А., Тауре Л. Ф., Органические полупроводники, М., 1980; Gruniger G., Charge density wave transport in linear chain compounds, «Comments on Solid State Phys.», 1983, v. 10, p. 183.

Л. Н. Булавинский.

**КВАЗИОПТИКА** — асимптотич. метод для описания дифракции коротких волн в системах, размеры к-рых  $d$  существенно превышают длину волны  $\lambda$ . К. уточняет геометрической оптики метод в окрестностях каустик и фокусов, в зонах полутиени, при описании широких волновых пучков и т. п.

Обособившись сначала в самостоятельный раздел электродинамики, К. в дальнейшем приобрела универсальный характер как метод, пригодный для волн любой природы и в любом диапазоне, если только выполнен необходимый критерий её применимости:  $d \gg \lambda$ .

К. имеет дело с описанием волновых полей, характеризующихся разл. масштабами изменения комплексной лучевой амплитуды в направлении локального волнового вектора и в перпендикулярном направлении. В отличие от геом. оптики, описывающей распространение волн в каждой лучевой трубке независимо, К. учитывает эффекты поперечной диффузии лучевой амп-

литуды в смежные лучевые трубы, т. е. по фронтам распространяющихся волн.

**Волновые пучки.** Простейшей моделью К. является монохроматич. параксиальный волновой пучок в однородной среде, образуемый соседними зонами полутиени при дифракции плоской волны на большом (в масштабе  $\lambda$ ) отверстии в непрозрачном экране (рис. 1). Такой пучок в случае скалярного поля можно описать ф-цией

$$u = A(x, y, z) \exp(-ikz + i\omega t), \quad (1)$$

где медленная амплитуда  $A(x, y, z)$  меняется в масштабах  $\lambda_{\perp} \gg \lambda$  по *x*, *y* и  $\lambda_{\parallel} = k\lambda_{\perp}^2 \gg \lambda_{\perp}$  — по *z*,  $k = 2\pi/\lambda = \omega/c$ . Подстановка (1) в волновое ур-ние

$$\Delta u - c^{-2} \frac{\partial^2 u}{\partial t^2} = 0$$

и пренебрежение членом  $\partial^2 A / \partial z^2$ , имеющим по отношению к др. слагаемым порядок  $(k\lambda_{\perp})^{-2} \ll 1$ , приводят к параболич. ур-нию

$$\frac{\partial A}{\partial z} = \frac{1}{2ik} \left( \frac{\partial^2 A}{\partial x^2} + \frac{\partial^2 A}{\partial y^2} \right), \quad (2)$$

описывающему поперечную диффузию комплексной лучевой амплитуды. Ур-ние (2) сходно с ур-ием Шредингера в квантовой механике. В теории эл.-магн.

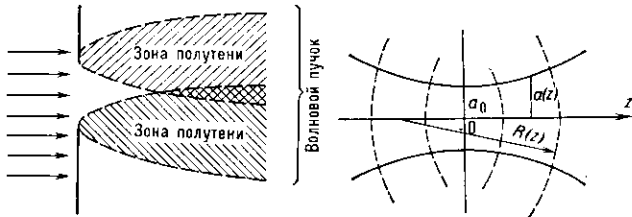


Рис. 1. Формирование волнового пучка при дифракции плоской волны на большом отверстии.

Рис. 2. Гауссов пучок.

поля оно впервые было получено М. А. Леонтьевичем в 1944 и носит его имя. Мнимость коэф. диффузии  $D = (2ik)^{-1}$  в (2) означает, что диффузия амплитуды сопровождается изменением фазы (см. Леонтьевича параболическое уравнение).

Решение параболич. ур-ния (2), описывающее амплитуду  $A(x, y, z)$  по её значению  $A(x, y, 0)$  в сечении  $z=0$ , можно представить в виде

$$A(x, y, z) = \frac{ik}{2\pi z} \iint_S A(x', y', 0) \times \exp \left\{ -ik \frac{(x-x')^2 + (y-y')^2}{2z} \right\} dx' dy' \quad (3)$$

(дифракция Френеля).

Важным классом решений ур-ния (2) являются гауссовые пучки, моды к-рых имеют автомодельный характер, т. е. сохраняют с точностью до масштаба свою структуру в разных сечениях  $z=\text{const}$ . Оси. гауссов пучок (рис. 2) описывается ф-цией

$$A_{00}(x, y, z) = A_0 \left[ 1 - \frac{iz}{k^2 z_d^2} \right]^{-1/2} \times \exp \left\{ -\frac{x^2 + y^2}{2a^2(z)} + ik \frac{x^2 + y^2}{2R(z)} \right\}, \quad (4)$$

где  $A_0$  — амплитуда пучка,  $a(z) = a_0 (1 + z^2/z_d^2)^{1/2}$  — радиус пучка,  $R(z) = -z - z_d^2/z$  — радиус кривизны его фазового фронта,  $a_0$  — радиус пучка в сечении  $z=0$ . Величину  $z_d = ka_0^2$  наз. дифракт. длиной пучка; на расстоянии  $z=z_d$  радиус пучка равен  $a_0 \sqrt{2}$ , а радиус кривизны фазового фронта минимален:  $|R(z_d)| = 2z_d$ . Геом. расходимость  $\theta_r = a(z)/|R(z)|$  и дифракц.